

28/5/2020

## BLOW-UP (scoppiolemento)

Sia  $P = (0, \dots, 0) \in \mathbb{A}^n$

Il blow-up di  $\mathbb{A}^n$  in  $P$   
 $\bar{e}$

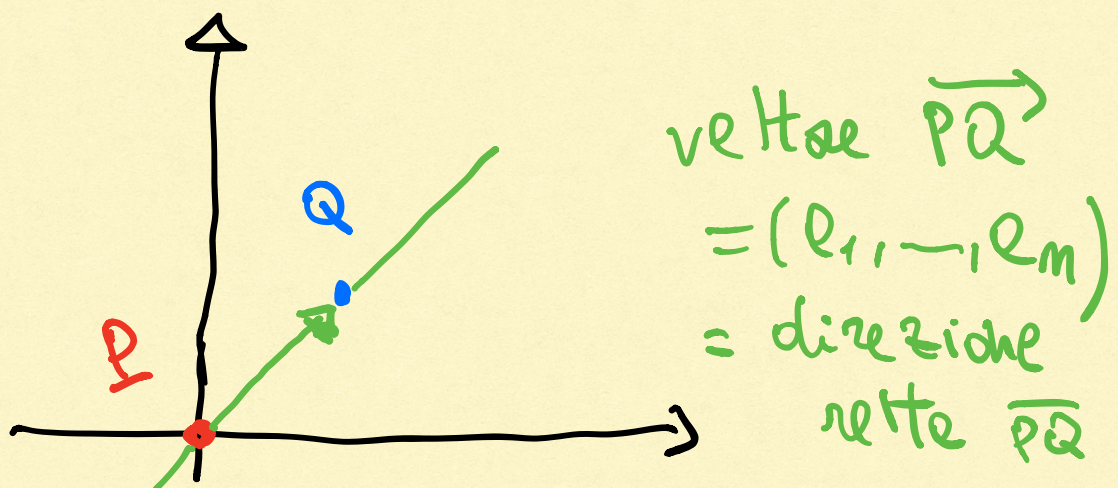
$$\text{Bl}_P(\mathbb{A}^n) = \left\{ [(x_1, \dots, x_n), (y_1 : \dots : y_n)] \in \mathbb{A}^n \times \mathbb{P}^{n-1} : \right.$$
$$x_i y_j = x_j y_i$$
$$\left. \forall i, j = 1, \dots, n \right\}$$

$$\begin{array}{ccc}
 \mathbf{B}\mathcal{E}_P(\mathbb{A}^n) & \longrightarrow & \mathbb{A}^m \times \mathbb{P}^{m-1} \\
 & \searrow \mathcal{E}_P & \downarrow \\
 & & \mathbb{A}^m
 \end{array}$$

Studio oh  $\mathcal{E}_P$ :

(1) Sie  $Q \in \mathbb{A}^m$

$$Q \neq P = (0, \dots, 0)$$



Allora  $b\ell_p^{-1}(Q) = Q'$   
 punto  $\in \mathcal{L}_p(\mathbb{A}^m)$

Infatti

$$\text{se } Q = (Q_1, \dots, Q_m)$$

$$Q \neq P = (0, \dots, 0) \Rightarrow \exists j \text{ t.c.}$$

$$Q_j \neq 0$$

$$\text{eq. } x_i y_j = x_j y_i$$

$$\text{diventa } y_i = \left( \frac{x_i}{x_j} \right) y_j$$

$$\text{ovvero } \text{paché } (y_1 : \dots : y_n) \in \mathbb{P}^m$$

$$bl_p(Q) = [(e_1, \dots, e_m), (q_1 : \dots : q_m)]$$

DI PIÙ:

per costruzione

$$bl_p: Bl_p(\mathbb{A}^n) \setminus b_p^{-1}(p) \xrightarrow{\sim} \mathbb{A}^n \setminus \{p\}$$

$$Q' \longrightarrow Q$$

Controimmagine di p:

$$bl_p^{-1}(p) = \{(0, \dots, 0), (y_1 : \dots : y_m)\}$$

$$\cong \mathbb{P}^{n-1}$$

Interpretazione geometrica

$$bl_p^{-1}(\mathbb{I}) \hookrightarrow \left\{ \begin{array}{l} \text{rette im } A^n \\ \text{passanti per } \mathbb{I} \end{array} \right\}$$

Infatti:

Sia  $L = \text{retta passante per } P = (0, \dots, 0)$

eq. parametrica di  $L$  :

$$\left\{ \begin{array}{l} x_1 = d_1 t \\ \vdots \\ x_m = d_m t \end{array} \right.$$

Sia  $Q \in L$

$$Q = (d_1 \bar{t}, \dots, d_m \bar{t})$$

per un certo  $\bar{t} \neq 0$

$$\text{be}_P^{-1}(Q) = [(d_1 \bar{t}, \dots, d_m \bar{t}), (d_1 : \dots : d_m)]$$

Ovvvero:

$$\overline{\text{be}_P^{-1}(L \setminus \{P\})} = [L, (d_1 : \dots : d_m)]$$

$$v = \begin{pmatrix} d_1 \\ \vdots \\ d_m \end{pmatrix}$$

vettore direzione  
di  $L$

$$( \in \mathbb{P}^{m-1} )$$

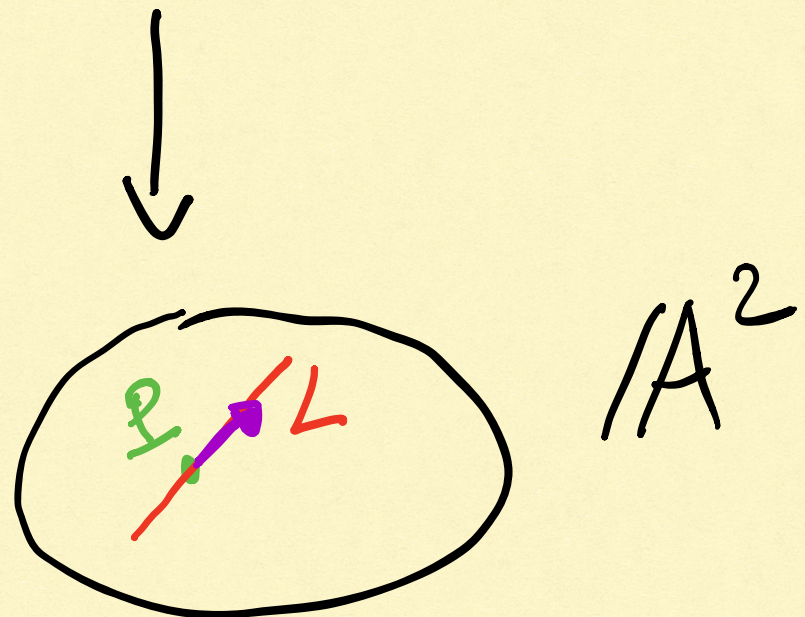
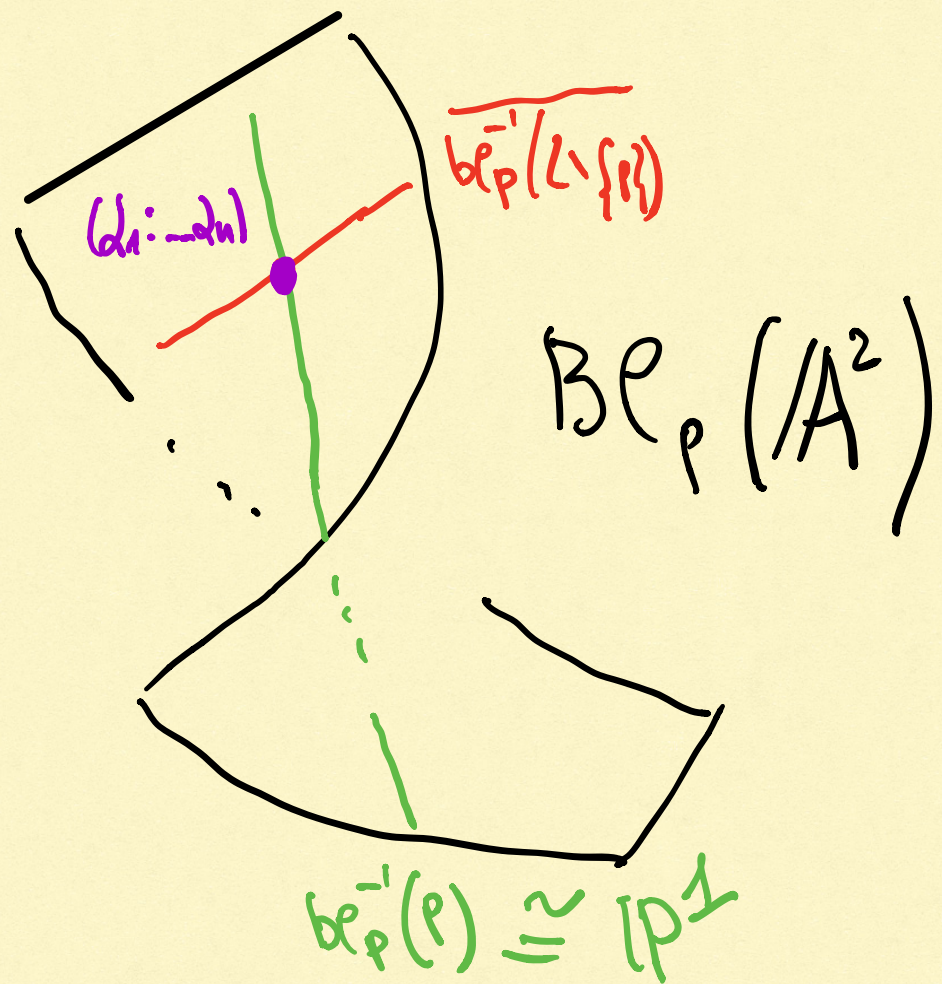
$$\overline{b\ell_p^{-1}(L \setminus \{p\})} \cap b\ell_p^{-1}(p) =$$

$$= \left\{ [L, (d_1 : \dots : d_m)] \right\} \cap \left\{ [O, (g_1 : \dots : g_k)] \right\}$$

con  $d_i$  fissati  
 $y_i$  liberi

Intersezione:

$$\left\{ [O, (d_1 : \dots : d_m)] \right\}$$



Prop.  $X = \text{Bl}_P(\mathbb{A}^n)$

è varietà q.p.  
irriducibile

dim  $X \setminus \{b_P^{-1}(P)\} \cong \mathbb{A}^{n-1} \setminus \{P\}$

$\mathbb{A}^n \setminus \{P\}$  è irriducibile  
per definizione

( $\Leftarrow$ ) chiusure  
è  
irriducibile )

Sufficiente:  $X \setminus \{b\varphi_p^{-1}(p)\}$

è denso in  $X$

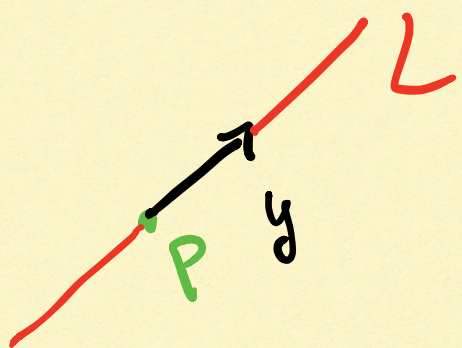
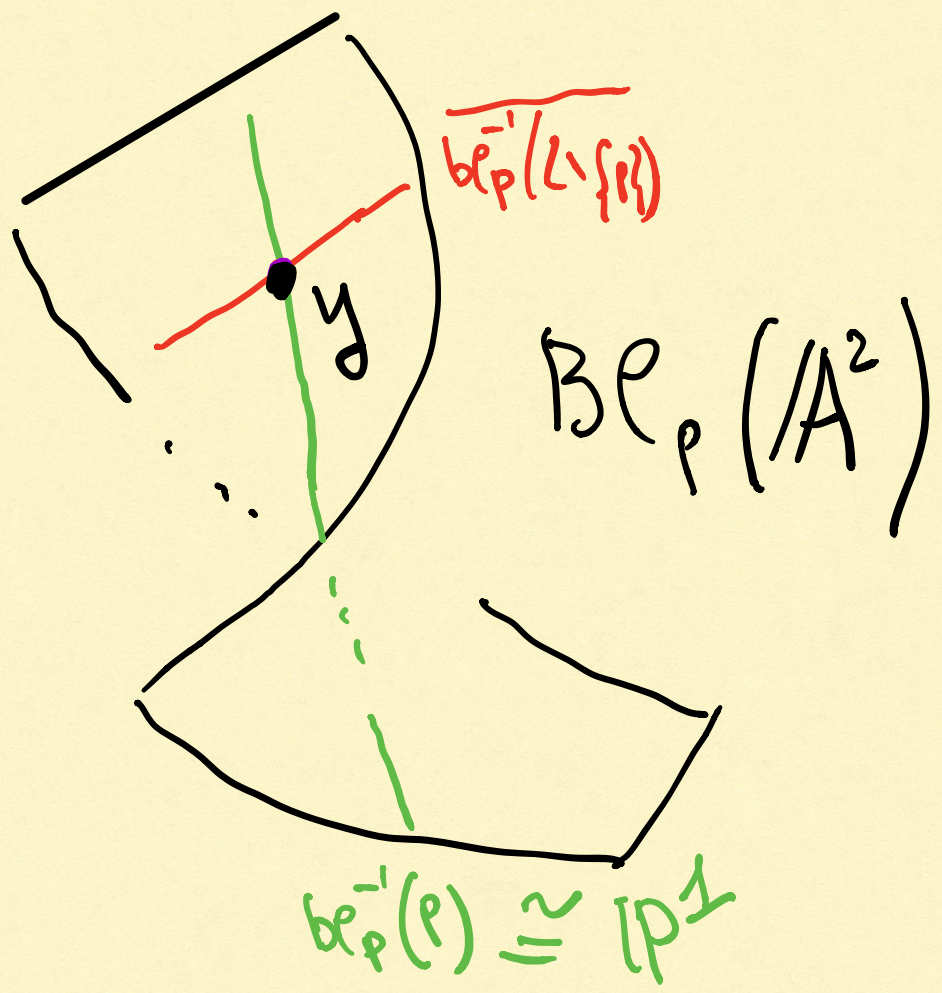
Sia  $y \in b\varphi_p^{-1}(p)$

$$y = \left\{ [0, (y_1 : \dots : y_n)] \right\}$$

allora per costruzione

$$\overline{y \in b\varphi_p^{-1}(L \setminus \{p\})}$$

dove  $L = \begin{cases} x_1 = y_1 \cdot t \\ \vdots \\ x_n = y_n \cdot t \end{cases}$



ovvero  $X \setminus \text{be}_P^{-1}(P)$   
è denso in  $X$

$\Rightarrow X$  è irriducibile

---

### DEFINIZIONE Alternative

Consideriamo meglio di proposito

$$\pi: \mathbb{A}^n \setminus \{0\} \longrightarrow \mathbb{P}^{n-1}$$

$$(x_1, \dots, x_n) \longmapsto (x_1 : \dots : x_n)$$

$$P = (0, \dots, 0)$$

$\text{Bl}_P(\mathbb{A}^n) = \overline{(\text{GRAFICO di } \pi)}$

$\subset \mathbb{A}^n \times \mathbb{P}^{n-1}$

ovvero:

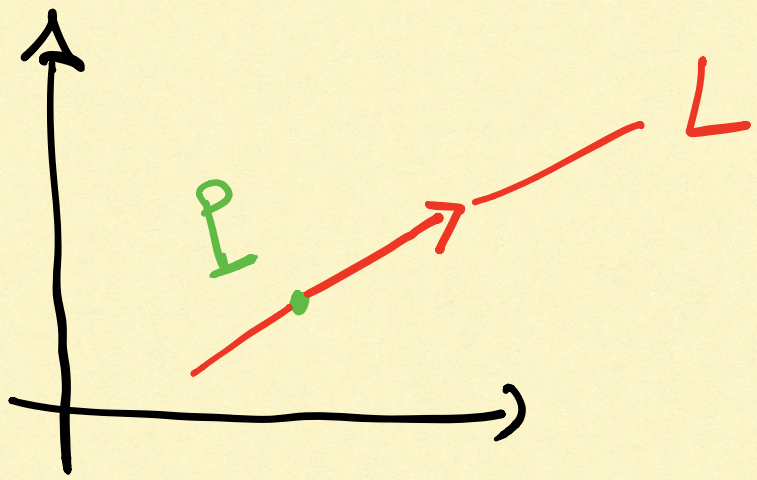
$$\overline{\left\{ (x_1, \dots, x_n), (x_1 : \dots : x_n) \right\}}$$

$$: (x_1, \dots, x_n) \neq (0, \dots, 0)$$

OSS. E' possibile fare

lo scoppio mento di  $\mathbb{A}^n$

in qualsiasi punto  $P$



$$P = (\bar{x}_1, \dots, \bar{x}_m)$$

$$L = \left\{ x_i = \bar{x}_i + d_i t \right.$$

$$b\ell_P^{-1}(P) = \left\{ (\underline{x}, (d_1, \dots, -d_m)) \right\}$$

$Y \subset \mathbb{A}^n$  chiuso  
irriducibile

$$P = (0, -, 0) \in Y$$

$$B\mathcal{E}_P(Y) \doteq \overline{b\mathcal{E}_P^{-1}(Y \setminus \{P\})}$$

APPLICAZIONI:

① Risoluzione delle singolarità

CASO  $n = 2$

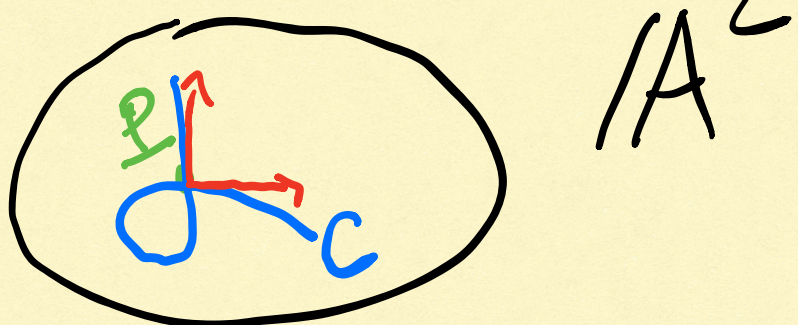
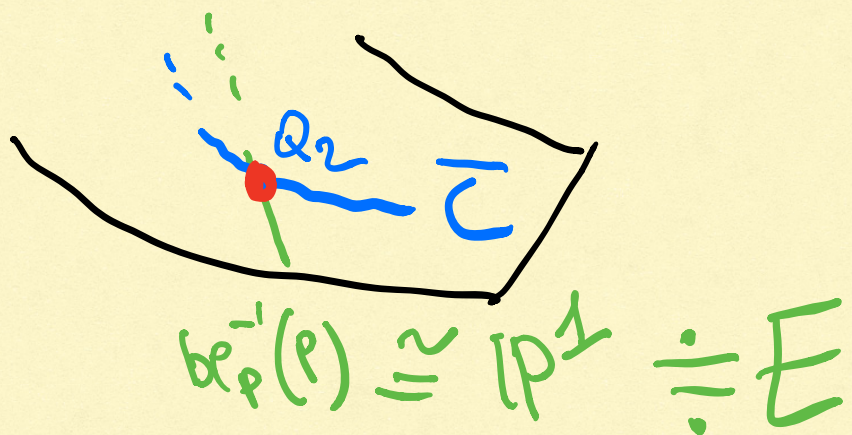
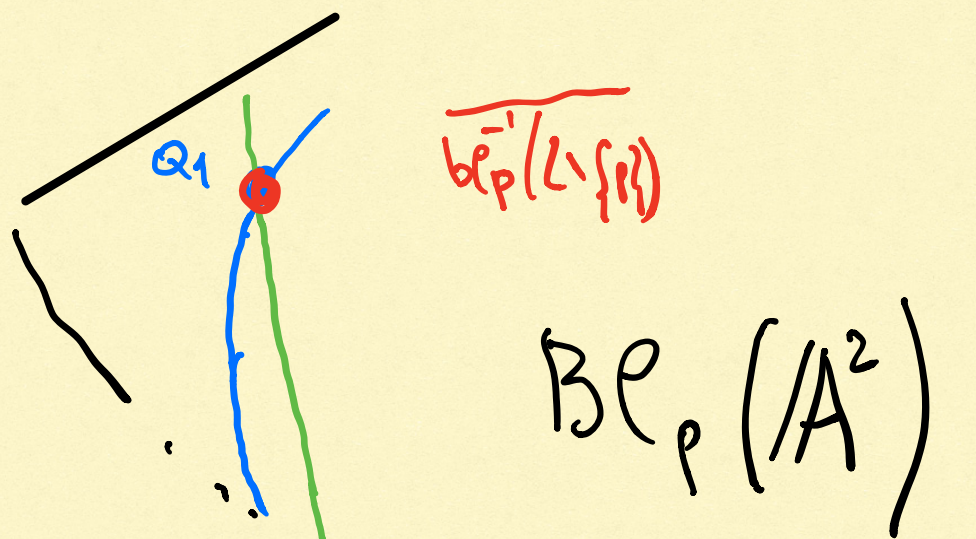
$$P = (0,0) \in \mathbb{A}^2$$

$$X = Bl_P(\mathbb{A}^2)$$

motizzazione standard

$$E \doteq Bl_P^{-1}(P) \cong \mathbb{P}^1$$

curva eccezionale  
dello scoppio



Sia  $C \subset A^2$

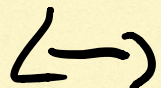
curva algebrica

singolare in  $P$

$$\bar{C} = \overline{b\hat{\ell}_P^{-1}(C \setminus \{P\})}$$

trasformate  
strette di  $C$

direzioni  
delle  
tangenti  
proprie a  $C$   
in  $P$



punti  
sulle  
curve  
ecclez.

## Esempio

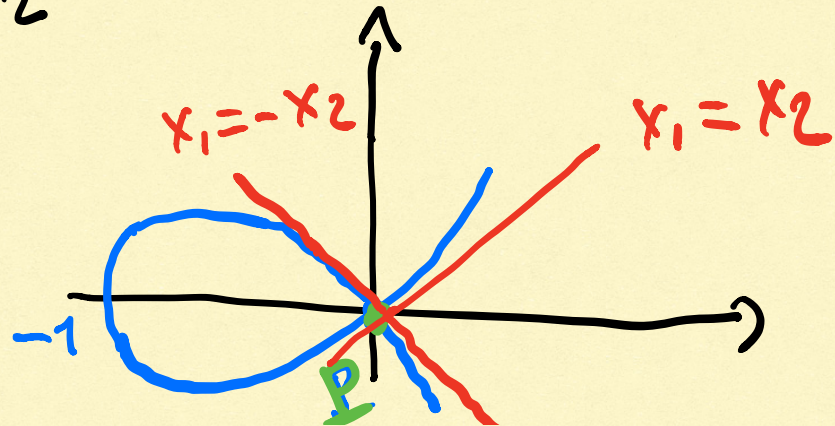
$$C = V(f) \subset A^2(x_1, x_2)$$

$$f = x_2^2 - x_1^2(x_1 + 1)$$

$P = (0, 0)$  p.to singolare  
per C

$$\left\{ \begin{array}{l} \frac{\partial f}{\partial x_1}(0, 0) = 0 \\ \frac{\partial f}{\partial x_2}(0, 0) = 0 \end{array} \right.$$

$$\frac{\partial^2 f}{\partial x_1^2}(0, 0) = 0$$



$$Bl_P(A^2) =$$

$$= \left\{ [(x_1, x_2), (y_1 : y_2)] : x_1 y_2 = x_2 y_1 \right\}$$

$$\text{Im } \mathbb{P}^1 = Bl_P^{-1}(P) = \{(0, [y_1 : y_2])\}$$

Consideriamo

$$U_1 = \{ y_1 \neq 0 \}$$

Potremo coordinate

$$u = \frac{y_2}{y_1} \quad \leftarrow \begin{array}{l} \text{pendente} \\ \text{netta L} \\ \text{per P} \end{array}$$

Equazione di  $Bl_P(A^2)$

$$x_1 y_2 = x_2 y_1$$

diventa

$$x_2 = u \cdot x_1$$

Equazione di C:  $\longleftrightarrow$

$$\left\{ \begin{array}{l} x_2^2 = x_1^2(x_1 + 1) \\ x_2 = u \cdot x_1 \end{array} \right.$$

$\rightarrow$  sostituiamo  
 $x_2 = u \cdot x_1$  nelle  
1<sup>a</sup> e q.

$$u^2 \cdot x_1^2 = x_1^2(x_1+1)$$

CIOE':

$$x_1^2(u^2 - (x_1+1)) = 0$$

Questo significa che

$$\text{bl}_p^{-1}(c) = E \cup \bar{C}$$

dove  $E = \{x_1 = x_2 = 0\}$   
curve eccezionali

$$\bar{C} = \{u^2 - (x_1+1) = 0\}$$

trasformate strette  $= \text{bl}_p^{-1}(c \setminus p)$

$$E \cap \bar{C} \longrightarrow P \in C$$

calcolo:

$$E \cap \bar{C} \hookrightarrow \begin{cases} u^2 = x_1 + 1 \\ x_1 = x_2 = 0 \end{cases}$$

$$\hookrightarrow \begin{cases} u^2 = 1 \\ x_1 = x_2 = 0 \end{cases} \quad \begin{matrix} u \\ \text{coord.} \\ \text{su} \end{matrix}$$

$$u = \pm 1 \quad E \cong \mathbb{P}^1$$

$$E \cap \bar{C} = \{ Q_1, Q_2 \}$$

$$Q_1 = \left\{ [\bar{(0,0)}, (1:1)] \right\}$$

Pendenza  
 $\geq 1$

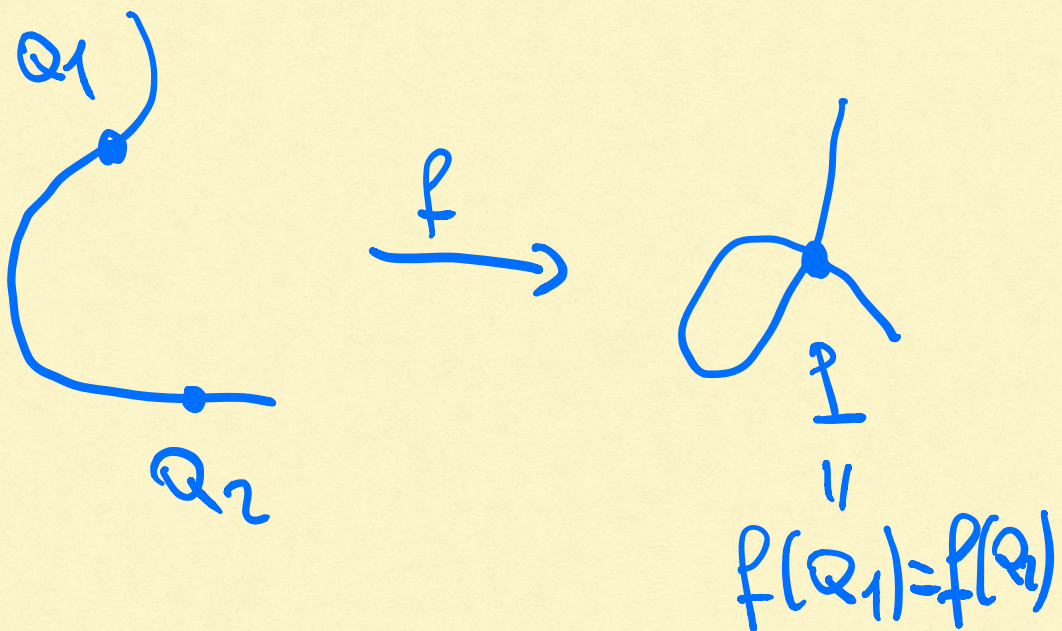
$$Q_2 = \left\{ [0,0], (1:-1) \right\}$$

Pendenza  
 $= -1$

In questo caso:

$\bar{C}$  è l'insieme  $Q_1, Q_2$   
&

$\bar{C} \xrightarrow{f} C$  mappa  
biunivoca



Teorema Dato  $C \subset \mathbb{P}^2$

curva alg. irriducibile  
singolare

ALLORA:

• successione finita  
di Blow-up

$$\sigma: X^{(m)} \dashrightarrow X^{(m-1)} \dashrightarrow \dots \dashrightarrow X^{(1)} \rightarrow \mathbb{P}^2$$

t.c. le trasformate  
strette

di  $\sigma^{-1}(c)$  è

una curva liscia

N.B. Lo scoppimento  
è locale

$$P \in \mathbb{P}^2$$

considero

Ricoprimento

$$\{(U_0, V_1)\}$$

di  $\mathbb{P}^n$ ,  $V_1 \not\ni P$

$$\text{t.c. } A^2 \cong V_0 \ni P$$

$$B\ell_p(\mathbb{P}^2) := B\ell_p(V_0) \cup V_1$$

$$B\ell_p(\mathbb{P}^2) \setminus \tilde{\ell}_p^{-1}(P) \cong \mathbb{P}^2 \setminus \{P\}$$

$$\tilde{\ell}_p^{-1}(P) \cong \mathbb{P}^1$$

## APPLICAZIONE ②:

RISOLUZIONE del luogo  
di indeterminazione  
di una mappa birettionale

Esempio.

$$\text{Sia } X = V(x_0x_3 - x_1x_2) \subset \mathbb{P}^3$$

QUADRICA

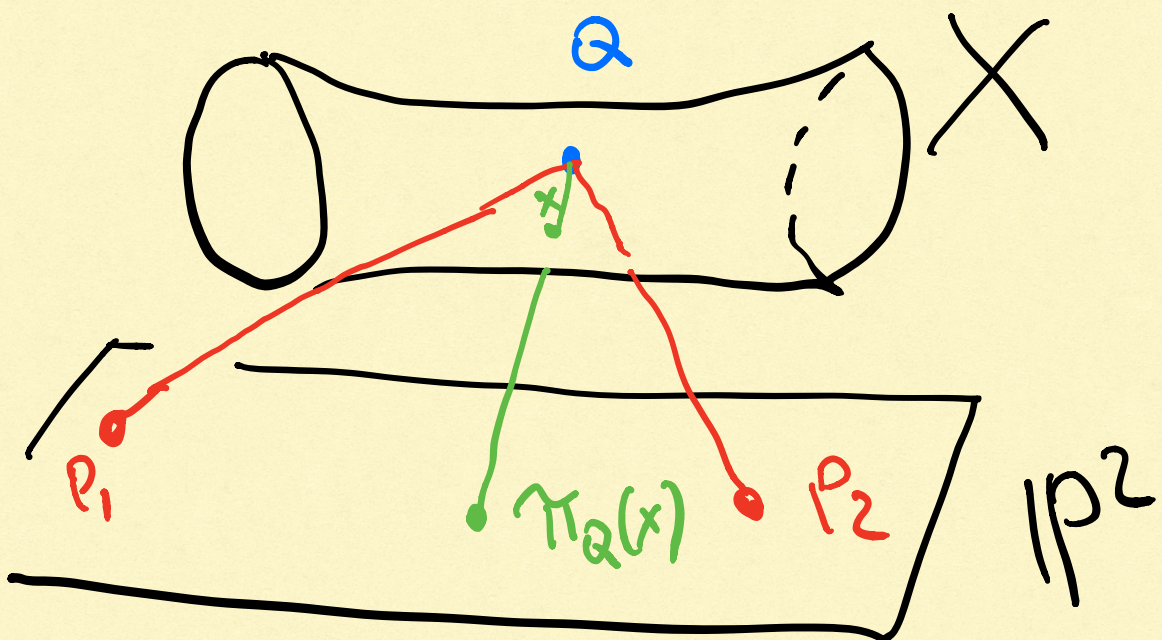
consideriamo le proiezione  
di centro

$$Q = (0:0:0:1)$$

$$\pi_Q : \mathbb{P}^3 \rightarrow \mathbb{P}^2$$

$$\pi_Q|_X : X \dashrightarrow \mathbb{P}^2$$

mappe birettive  
definite in  $X \setminus \{Q\}$



In coordinate

$\pi_{Q|X}$  è la restruzione  
di

$$(x_0 : x_1 : x_2 : x_3) \longmapsto (x_0 : x_1 : x_2)$$

$\pi_{Q|X}$  non è def.  
in  $Q$

$\pi_{Q|X}$  contiene  
due rette delle  
rigature di  $X$   
possenti per  $Q$

PROP.

$$BL_Q(x) = \overline{\text{grafico de } \pi_Q|_x}$$

$$\subset Q \times \mathbb{P}^2$$